第Ⅲ部門

杭周辺の液状化層に施す地盤改良の強度と杭体曲げモーメントに関する実験的検討

京都大学大学院 学生会員 ○稲上 慶太 京都大学大学院 正会員 澤村 康生 阪神高速道路株式会社 正会員 小坂 崇 能史 阪神高速道路株式会社 非会員 西海 京都大学大学院 木村 正会員 亮

1. はじめに

軟弱地盤や液状化地盤における杭基礎は、現行の設計 法に基づいて耐震照査を行うと,下部構造が大規模化し, 建設コストや必要用地が増大する場合がある. そこでフ ーチング下部に地盤改良を施工し, 杭の水平抵抗を増大 することで、 杭本数やフーチングを縮小する種々の工法 が開発されてきた例えば 1). その中で篠原ら 2)は、狭小地で の液状化地盤対策に、このような地盤改良と杭基礎を組 み合わせた工法を適用するため、2次元動的解析を実施 した. その結果、適切な強度の地盤改良を施すことで. 曲げモーメントを大きく低減する効果を得られることを 明らかにしている. 本研究では、液状化地盤上に建設さ れた 2×2 群杭基礎を対象とし、フーチング下部に施す地 盤改良強度の差異が杭の曲げモーメントに与える影響を 解明することを目的に、50G 遠心力場で振動実験を 実施した.

2. 実験概要

実験模型の概略図を図1に示す. 上部に液状化層が 存在する地盤を想定し、模型地盤は珪砂6号を用いて、 プロトタイプスケールで上部 3m を $D_r=40\%$, 下部 10 $m \in D_{r} = 85\%$ とした. 遠心力場における相似則を満た すため、水の 50 倍の粘性を有するメトローズ水溶液を 用いて地盤を飽和させた. 実験ケースは、Case-1 が改良 を施さない杭基礎のみ、Case-2 では強度の低い改良 (q_u = 830 kN/m^2 , $E = 8.523 \times 10^5 \text{ kN/m}^2$), Case-3 では強度の 高い改良 ($q_u = 6350 \text{ kN/m}^2$, $E = 8.523 \times 10^5 \text{ kN/m}^2$) を施 した. 杭模型は,端部が剛結された杭長 12 m,直径 0.4 m, 肉厚 40 mm, の杭基礎を想定し, アルミニウム製パイプ $(E=7.06\times10^7 \text{kN/m}^2)$ を用いた. フーチングと杭端固定部 はステンレス製とし、これらを接着固定して作製した. なお、杭模型寸法および材質は、杭端底部で曲げモーメ ントが0となることを目標として決定した.改良体部は、

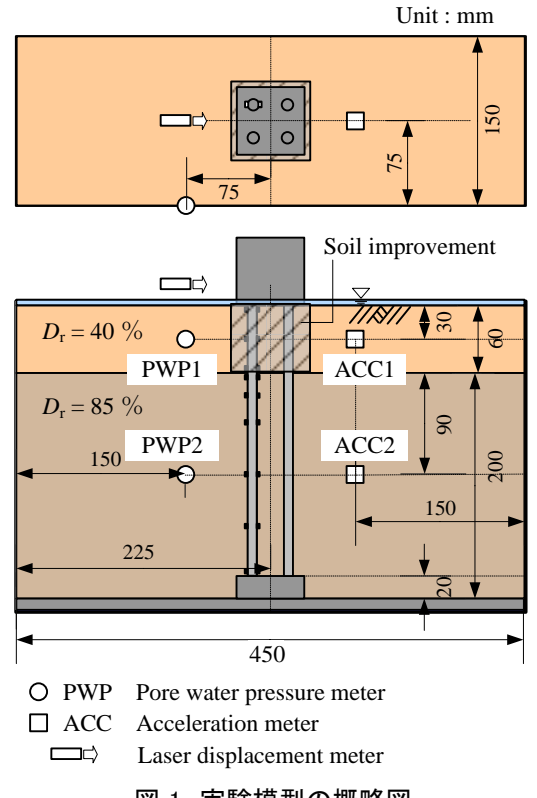


図1 実験模型の概略図

強度の低い Case-2 では乾燥重量比で笠岡粘土:セメン ト:水=8:1:5.61 の配合とした. 温度を20℃ に保ち 6日水中養生した. 強度の高い Case-3 では、乾燥重量比 で笠岡粘土:砂:セメント:水=1:2:1:1.27の配合と した. 温度を 20 ℃ に保ち 2.5 日水中養生した. 入力波 は最大加速度 2.5 m/s² 程度の 1 Hz テーパー付正弦波 20 波とした.

3. 実験結果

図2、図3にそれぞれ Case-1 における地盤内の間隙水 圧および応答加速度の時刻歴を示す. 液状化層では間隙 水圧 PWP1 が全応力に達し、さらに応答加速度 ACC1 の 波形が急激に減衰していることから、地盤が液状化して いると判断できる.一方,非液状化層では,間隙水圧

Keita Inagami, Yasuo Sawamura, Takashi Kosaka, Yoshifumi Nishiumi and Makoto Kimura inagami.keita.23e@st.kyoto-u.ac.jp

PWP2 が全応力に近づいており、有効応力が減少してい るが、応答加速度ACC2の波形に減衰が見られないため、 完全な液状化には至っていないと判断できる。これらの 傾向は他の2ケースでも同様であった.

図4にCase-1における杭頭変位と杭頭曲げモーメント の時刻歴を示す. 杭頭変位が最大となる時刻において、 杭頭曲げモーメントも最大となる. この傾向は他の2ケ ースでも見られた.

図5に、各ケースにおいて杭頭変位が最大となり、杭 の曲げモーメントが最大となった時刻での曲げモーメン トの深度分布を示す. Case-3 では計測不良のため、改良 体内の一点は推定値としている. Case-1 では曲げモーメ ントが杭頭部で最大となるのに対し Case-2, Case-3 では 杭頭部でほぼ0に近い値を示している。一方、改良体境 界部で地盤との剛性差が大きくなるために、改良体下端 で曲げモーメントが増大し、最大値となる. この傾向は 改良強度を増大すると、より顕著に見られる. 杭全体の 曲げモーメントの最大値は、Case-1 で 515.0 kN·m に対 して, Case-2 は 304.1 kN·m, Case-3 は 453.0 kN·m で あり、低減効果は Case-2 で良好であった. これらの結果 から、篠原ら 2が報告しているとおり、曲げモーメント 低減効果は改良強度の増大に比例せず、適切な強度の地 盤改良により、大きな低減効果を得られていることが確 認できる.

4. 結論

本実験では、適切な強度の地盤改良工を施すことによ り、液状化時に杭に発生する曲げモーメントの最大値を 低減できることが確認できた. 今後, 狭小地での液状化 地盤対策などを念頭に、より効果的な地盤改良強度・剛 性・範囲を検討するため、改良部分の条件を変更した実 験や数値解析を行う必要がある.

参考文献

- 1) 冨澤幸一, 西川純一: 深層混合処理工法により形成し た複合地盤における杭設計手法、土木学会論文集、 No.799/III-72, pp.183-193, 2005
- 2) 篠原聖二, 茂呂拓実, 金治英貞, 坂梨利男, 谷澤史剛: 地盤改良幅および強度が地震時杭挙動に与える影響 検討, 土木学会第67回年次学術講演会講演集, I-381, pp.761-762, 2012.

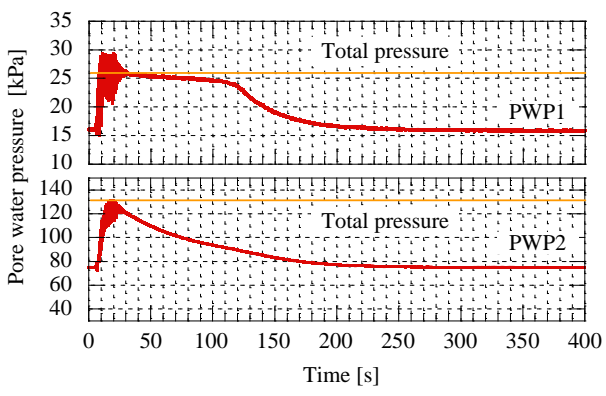


図 2 地盤内の間隙水圧(Case-1)

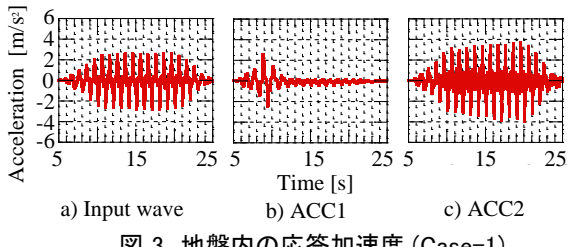


図 3 地盤内の応答加速度(Case-1)

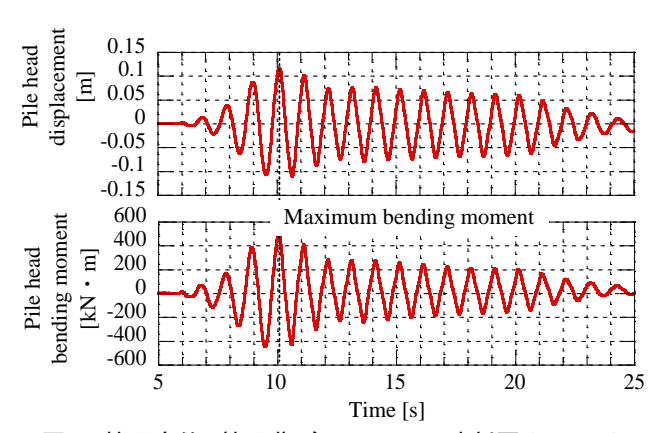
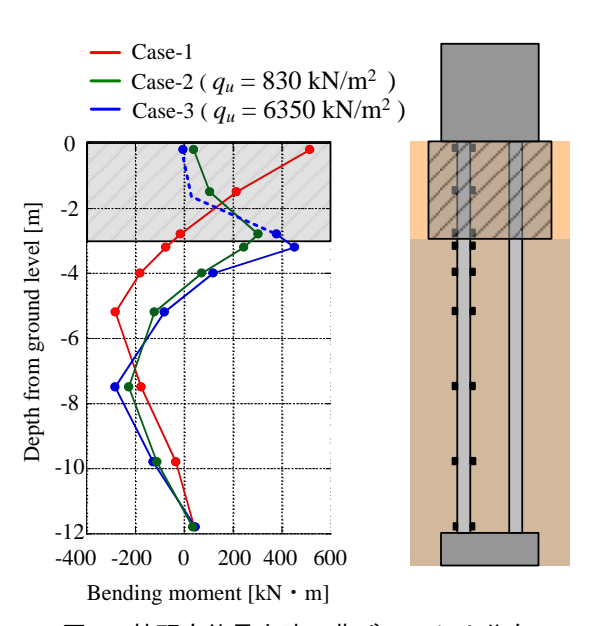


図 4 杭頭変位, 杭頭曲げモーメントの時刻歴(Case-1)



杭頭変位最大時の曲げモーメント分布